

# MicroRNA-21 介导非对称性二甲基精氨酸诱导的内皮细胞衰老 \*

廖清池<sup>1</sup> 胡艳丽<sup>2</sup> 周胜华<sup>1△</sup>

(1 中南大学湘雅二医院 心血管内科 湖南 长沙 410011 2 湖南省马王堆医院 外科 湖南 长沙 410011)

**摘要 目的** 观察非对称性二甲基精氨酸(ADMA)对内皮细胞中 microRNA-21(miR-21)表达的影响,探讨 microRNA-21 在 ADMA 诱导的内皮细胞衰老中的作用。**方法:** 人脐静脉内皮细胞(HUVEC)与 10 uM 的 ADMA 孵育 48 小时后收集细胞提取总 RNA 及蛋白, 荧光定量实时 RT-PCR 检测 miR-21 表达, Western blot 检测超氧化物歧化酶 2 (SOD2) 表达, 衰老相关半乳糖苷酶 (SA-β-gal)染色鉴定衰老的内皮细胞, 然后 HUVEC 与 miR-21 抑制剂转染 6 小时后继续与 10 uM 的 ADMA 孵育 48 小时留取细胞按上述方法检测相关指标。**结果**: HUVEC 与 ADMA 孵育后 miR-21 表达量明显增加( $P < 0.01$ ), 同时衰老的内皮细胞数量增多( $P < 0.05$ ), 而 SOD2 表达减少( $P < 0.01$ )。MiR-21 抑制剂转染 HUVEC 后 ADMA 诱导的 miR-21 表达明显减少, 同时衰老的内皮细胞减少, 而 SOD2 表达明显增加 (所有  $P < 0.01$ )。**结论**: ADMA 诱导了 HUVEC 中 miR-21 表达及细胞衰老, miR-21 介导了 ADMA 诱导的内皮细胞衰老作用, 其机制可能与其抑制 SOD2 表达有关。

**关键词** MicroRNA-21; ADMA; 内皮细胞衰老

中图分类号 R543.3 文献标识码 A 文章编号 :1673-6273(2011)13-2405-04

## Effects of Asymmetric Dimethylarginine on Expression of microRNA-21 in Endothelial Cells\*

LIAO Qing-chi<sup>1</sup>, HU Yan-li<sup>2</sup>, ZHOU Sheng-hua<sup>1△</sup>

(1 Department of Cardiology, the Second Xiangya Hospital Affiliated with Central South University 410011 Changsha, China;

2 Surgical Department, Hunan Mawangdui Hospital, 410011, Changsha, China)

**ABSTRACT Objective:** To investigate the effects of asymmetric dimethylarginine (ADMA) on the expression of microRNA-21 (miR-21) in endothelial cells in order to explore the role of miR-21 in ADMA-induced endothelial cell senescence. **Methods:** After human umbilical vein endothelial cells (HUVECs) were incubated with 10 uM ADMA for 48 hours, the cells were collected for extraction of total RNA and protein. Fluorescence quantitative real-time PCR was applied to determine the expression of miR-21 in HUVECs. Western Blot was used to detect the expression of superoxide dismutase 2 (SOD2) in HUVECs, and senescence associated galactosidase (SA-β-gal) staining was employed to identify the senescent endothelial cells. Then after the transfection of miR-21 inhibitors for 6 hours, HUVEC were incubated with 10 uM ADMA for 48 hours, and then the cells were collected for the determination of miR-21 and SOD2 expression and senescent endothelial cells according to the above-mentioned methods. **Results:** After HUVECs were incubated with ADMA, the expression of miR-21 was increased significantly ( $P < 0.01$ ) and meanwhile the number of SA-β-gal positive endothelial cells were elevated ( $P < 0.05$ ), while the SOD2 expression decreased ( $P < 0.01$ ); After the transfection of miR-21 inhibitors the ADMA-induced miR-21 expression in HUVECs was significantly reduced and meanwhile the number of SA-β-gal positive endothelial cells decreased while the SOD2 expression was significantly increased (all  $P < 0.01$ ). **Conclusions:** ADMA induced the expression of miR-21 in HUVECs and endothelial cell senescence, further miR-21 mediated the endothelial cell senescence induced by ADMA. This mechanism might be related to the inhibition of miR-21 on SOD2 expression.

**Key words:** MicroRNA-21; Asymmetric dimethylarginine; Endothelial cell senescence

Chinese Library Classification(CLC): R543.3 Document code: A

Article ID:1673-6273(2011)13-2405-04

### 前言

内皮衰老是动脉粥样硬化及冠状动脉疾病进展的重要危险因素。研究表明非对称性二甲基精氨酸(ADMA)可通过增加活性氧族(ROS)等机制促进内皮细胞衰老<sup>[1]</sup>, 目前已成为预测

心血管疾病的独立危险因子。MicroRNA 是一类非编码的单链微小 RNA, 在控制早期胚胎发育、细胞分化、细胞增值、细胞衰老等各种生物过程中起重要作用。最近研究显示 microRNA-21 (miR-21) 可通过抑制内皮祖细胞中超氧化物歧化酶 2(SOD2) 表达而增加 ROS 水平, 进一步研究发现 ADMA 可诱导内皮祖

\* 基金项目 国家自然科学基金 资助项目(30871053)

作者简介 廖清池(1977-), 男, 博士研究生, 主治医师, 主要研究方向 microRNA 与血管内皮功能失调,

电话 :13507451650 E-mail: lqchyl@gmail.com.

△通讯作者 周胜华 E-mail: excellenthyl@gmail.com.

(收稿日期 2011-03-03 接受日期 2011-03-27)

细胞中 miR-21 的表达<sup>[2]</sup>。此外研究证实衰老的内皮细胞中存在 miR-21 的高度表达<sup>[3]</sup>。因此我们推测 ADMA 可能通过促进 miR-21 表达,进一步增加 ROS 水平而诱导内皮细胞衰老。

## 1 材料和方法

### 1.1 主要材料和试剂

ADMA、X-Gal 及胎牛血清购于 Sigma 公司,DMEM 购于 Gibco 公司,人脐静脉内皮细胞(HUVEC) 购于 ATCC(CRL-1730),miR-21 抑制剂购于上海吉玛有限公司,鼠抗人 SOD2 及 GAPDH 抗体购于 Santa Cruz 生物技术公司,ECL 化学发光检测试剂盒购于碧云天生物技术公司,TRIZOL 试剂购于 Invitrogen 公司,Taqman MicroRNA Reverse Transcription Kit、TaqMan MiR-21 Assays 以及 TaqMan U6 snRNA assay 均购于 ABI 公司。

### 1.2 细胞培养

HUVEC 用含 10% 小牛血清的 DMEM 完全培养基,37℃、5%CO<sub>2</sub> 培养箱中培养,隔天换液,生长至 80% 融合时接种于 6 孔板,接种密度为 1×10<sup>4</sup>/孔。待细胞贴壁生长占 50~60% 孔板底面积时,随机分为对照组及 ADMA 处理组(10 μM),处理 48 小时检测各项指标,每组重复 3 孔,共进行 3 次实验。

### 1.3 MiR-21 抑制剂转染细胞

参照脂质体 2000 转染试剂说明书转染 HUVEC,简要步骤如下:将生长良好的 HUVEC 种植在 6 孔板中(约 4×10<sup>4</sup> 细胞/孔),加入不含血清的 DMEM 培养基培养 24 小时,待细胞融合达 50% 进行细胞转染;用适量低血清培养基稀释适量的 miR-21 抑制剂,轻轻混匀室温下孵育 5 分钟;将稀释后的 miR-21 抑制剂和转染试剂按比例混匀,室温下孵育 20 分钟;吸尽培养板中原有细胞培养基,加入终浓度为 50 nM 的 miR-21 抑制剂及阴性对照转染 6 小时;吸去细胞上清,无菌 PBS 洗 2 遍后每孔加入终浓度为 10 μM 的 ADMA 在 DMEM(含 10% 血清)完全培养基中继续培养 48 小时。

### 1.4 细胞总 RNA 的提取及完整性检测

参照 TRIZOL 说明书提取细胞总 RNA。应用紫外分光光度计在 260nm 及 280nm 波长下检测总 RNA 的 OD 值,若 OD<sub>260/280</sub> 比值在 1.8~2.0 则提示所提总 RNA 纯度较好,并计算 RNA 的含量。然后应用 2% 的琼脂糖电泳检测总 RNA 完整性,若可见 28s 及 18s 条带,表示 RNA 完整。经检测 RNA 符合要求后用于后续实验。

### 1.5 MiR-21 及内参 U6 cDNA 的制备

遵照 ABI 公司的 TaqMan MicroRNA Reverse Transcription Kit 试剂说明书进行操作,在同一管中进行 miRNA-21 及 U6 逆转录反应,采用无菌无酶耗材,严格无酶操作,所有操作在冰上完成。15 μl 逆转录反应体系包括:100 mM dNTP 0.15 μl,50 U/μl MultiScribe 逆转录酶 1 μl,10×RT Buffer 1.5 μl,20 U/μl RNA 酶抑制剂 0.19 μl,总 RNA 及无 RNA 酶水共 6.16 μl,miRNA-21 及 U6 的 RT 特异性逆转录引物各 3 μl。逆转录条件为 16℃ 30 分钟,42℃ 30 分钟,85℃ 5 分钟,4℃ 5 分钟。

### 1.6 MiR-21 及内参 U6 的萤光定量 RT-PCR 检测

采用 ABI 公司相关检测试剂盒在萤光定量 PCR 仪(ABI 7300)上进行 miRNA-21 及 U6 的定量检测,每个样本重复三

次。20 μl 反应体系包括: TaqMan MicroRNA Assays (20×) 1 μl,cDNA 1.33 μl,TaqMan 2×Universal PCR Master Mix(No AmpErase UNG)10 μl,Nuclease-free water 7.67 μl。PCR 反应条件: 95℃ 10 分钟,40 个 PCR 循环(95℃ 15 秒,60℃ 60 秒)。分析扩增曲线及溶解曲线,剔除不适合的扩增样本,将符合要求的 miR-21 及 U6 原始数据(采用系统自动分析软件获取 Ct 值)取 3 次重复的平均值,根据公式  $2^{-\Delta\Delta Ct}$  计算 miR-21 的相对表达量。

### 1.7 SOD2 及内参 GAPDH 的 Western-blot 检测

按常规方法提取细胞总蛋白,然后进行蛋白定量。根据 SOD2 分子量配置 12% 的凝胶进行电泳,然后转膜。室温封闭 2 小时,然后与一抗(1:1000)在 37℃ 孵育 2 小时,弃去一抗,加入二抗在 37℃ 孵育 2 小时。然后置于暗室中应用 ECL 化学发光法显影,定影,晾干,拍照,在成像分析仪下使用 Bandscan 图像分析软件分析结果。

### 1.8 衰老相关 β 半乳糖苷酶(SA-β-gal)染色

按 Dimri GP 等<sup>[4]</sup>的方法进行 SA-β-gal 活性检测,步骤如下:(1)配制 SA-β-gal 染色液:首先配制 50 mmol/L 的铁氰化钾、亚铁氰化钾、1.5 mol/L 的氯化钠、400 mmol/L 的枸橼酸钠和 1 mol/L 的氯化镁,然后分别取上述液体 10 ml、10 ml、10 ml、10 ml、0.2 ml,加双蒸水至 100 ml 并以 1 mol/L 的磷酸二氢钠调整 pH 值至 6.0 取 100 mg 半乳糖苷(X-Gal)溶于盛有 5 ml 二甲亚砜(DMSO)的聚丙烯容器中配成 20 mg/ml 的 X-Gal 溶液,将第一步所配溶液的 95 ml 与 5 ml 20 mg/ml 的 X-Gal 溶液充分混匀即得 SA-β-gal 染色液。(2)每孔培养板中细胞用磷酸缓冲液冲洗后加入 2% 多聚甲醛固定 5 分钟,然后再用缓冲液冲洗,再加入适量上述染色液于 37℃ 烤箱中染色 24 小时。(3)数码相机拍照。(4)图像分析系统分析,根据 1000 个细胞中染成蓝色细胞的个数计算衰老内皮细胞的百分比。

### 1.9 统计学分析

所有实验数据以均数±标准差(±s)表示,对计量资料进行正态性检验。组间比较采用 one-way ANOVA 分析法(分析前先进行方差齐性检测),两两比较应用 LSD-t 检验,双侧 P<0.05 有统计学意义。所有数据均采用 SPSS 13.0 统计软件进行分析。

## 2 结果

### 2.1 MiR-21 抑制剂阴性对照转染效率

为使 miR-21 稳定转染 HUVEC,实验中我们将 miR-21 抑制剂阴性对照稀释成 10,30,50,100 nM 分别转染细胞,结果发现 30 nM 以上浓度的 miR-21 抑制剂阴性对照均能稳定转染内皮细胞(转染效率大于 80%),因此,在后续实验中我们应用 50 nM 的 miR-21 抑制剂转染细胞。

### 2.2 荧光定量 RT-PCR 扩增效率及溶解曲线分析

MiR-21 及内参 U6 的荧光定量 RT-PCR 扩增效率相似,其溶解曲线均为单峰,表明相关 PCR 扩增产物特异性好,无杂带及引物二聚体等影响实验结果,可以应用  $\Delta\Delta Ct$  法计算 miR-21 的相对表达量。

### 2.3 ADMA 对 HUVEC 中 miR-21 表达的影响

HUVEC 与 10 μM 的 ADMA 孵育后 miR-21 表达量明显高于对照组,其差异有统计学意义( $P<0.01$ )(图 1)。

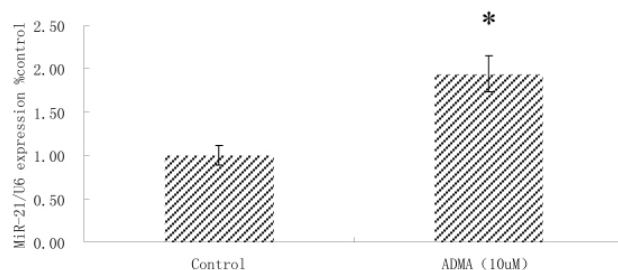


图 1 ADMA 对 HUVEC 中 miR-21 表达的影响

Fig. 1 Effects of ADMA on the expression of miR-21 in HUVECs

\*P&lt;0.01, 与对照组比较

\*P&lt;0.01 compared with control group

## 2.4 ADMA 对 HUVEC 中 SOD2 表达的影响

HUVEC 与  $10 \mu\text{M}$  的 ADMA 孵育后 SOD2 蛋白表达量明显低于对照组, 其差异有统计学意义( $P<0.01$ )(图 2)。

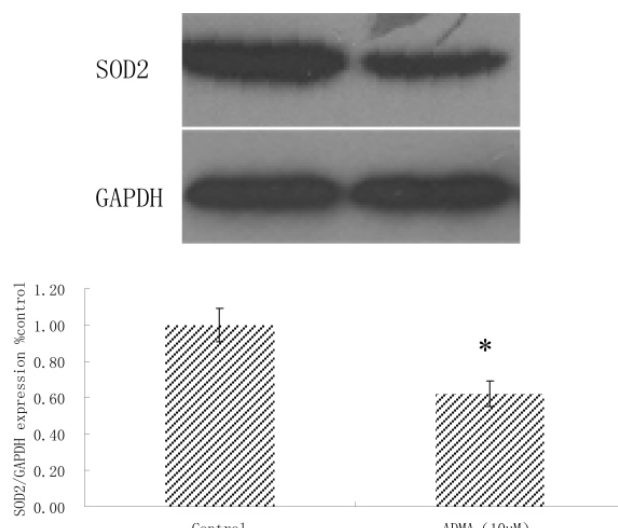


图 2 ADMA 对 HUVEC 中 SOD2 蛋白表达的影响

Fig. 2 Effects of ADMA on the expression of SOD2 protein in HUVECs

\*P&lt;0.01, 与对照组比较

\*P&lt;0.01 compared with control group

## 2.5 ADMA 对 HUVEC 衰老的影响

HUVEC 与  $10 \mu\text{M}$  的 ADMA 孵育后衰老的内皮细胞数量明显高于对照组, 其差异有统计学意义( $P<0.05$ )(图 3)。

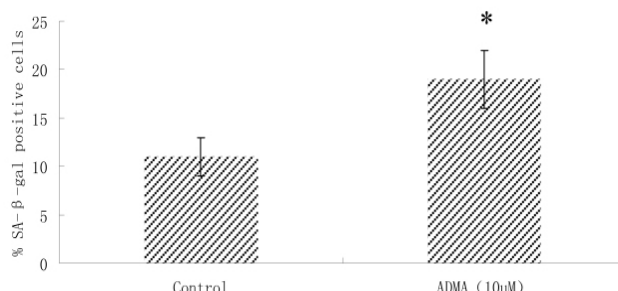


图 3 ADMA 对 HUVEC 衰老的影响

Fig. 3 Effects of ADMA on the senescence of HUVECs

\*P&lt;0.05, 与对照组比较

\*P&lt;0.05 compared with control group

## 2.6 MiR-21 抑制剂转染对 HUVEC 中 miR-21 表达的影响

MiR-21 抑制剂转染后 HUVEC 中 miR-21 表达量明显低于阴性对照组, 其差异有统计学意义( $P<0.01$ )(图 4)。

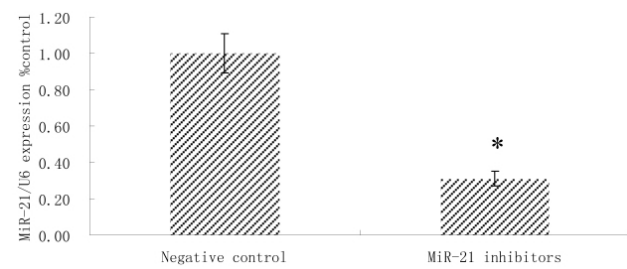


图 4 MiR-21 抑制剂转染对 ADMA 诱导的 HUVEC 中 miR-21 表达的影响

Fig. 4 Effects of transferring miR-21 inhibitors on ADMA-induced miR-21 expression in HUVECs

\*P&lt;0.01, 与阴性对照组比较

\*P&lt;0.01 compared with negative control group

## 2.7 MiR-21 抑制剂转染对 HUVEC 中 SOD2 表达的影响

MiR-21 抑制剂转染后 HUVEC 中 SOD2 表达量明显高于阴性对照组, 其差异有统计学意义( $P<0.01$ )(图 5)。

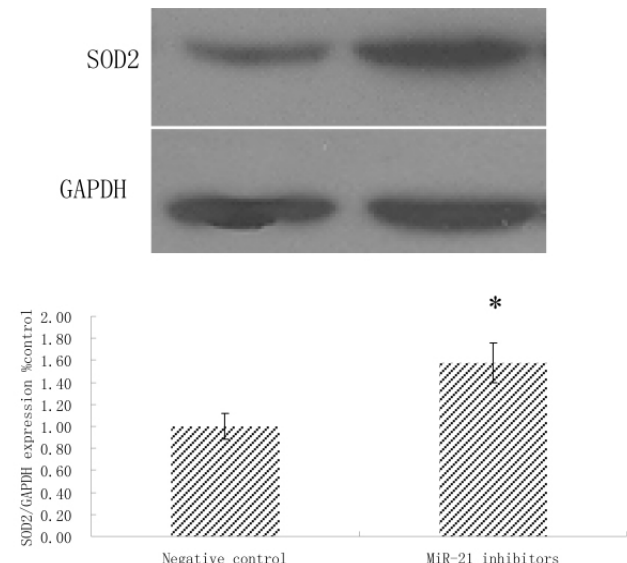


图 5 MiR-21 抑制剂转染对 ADMA 诱导的 HUVEC 中 SOD2 蛋白表达的影响

Fig. 5 Effects of transferring miR-21 inhibitors on ADMA-induced SOD2 protein expression in HUVECs

\*P&lt;0.01, 与阴性对照组比较

\*P&lt;0.01 compared with negative control group

## 2.8 MiR-21 抑制剂转染对 HUVEC 衰老的影响

MiR-21 抑制剂转染后衰老的 HUVEC 数量明显低于阴性对照组, 其差异有统计学意义( $P<0.01$ )(图 6)。

## 3 讨论

内皮衰老即内皮的增龄性变化, 是内皮功能失调的独立危险因素之一<sup>[5]</sup>。细胞衰老的特征之一是在 pH 值为 6.0 的条件下 SA- $\beta$ -Gal 染色阳性, 该特征是少数已被广为接受的细胞衰老的

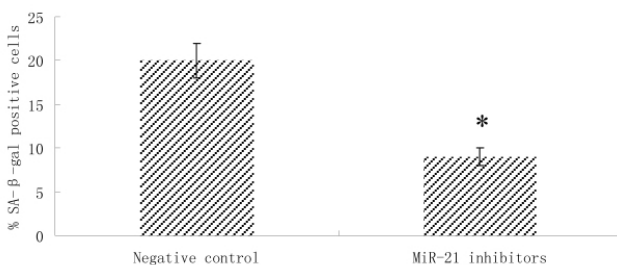


图 6 MiR-21 抑制剂转染对 ADMA 诱导的 HUVEC 衰老的影响  
Fig. 6 Effects of transferring miR-21 inhibitors on ADMA -induced senescence of HUVECs

\*P<0.01 ,与阴性对照组比较

\*P<0.01 compared with negative control group

生物学标志物之一。ADMA 是一氧化氮合酶最主要的内源性抑制剂<sup>[6]</sup> ,研究表明它可加速内皮细胞衰老<sup>[7]</sup>。我们目前的研究亦表明 ADMA 可增加 SA- $\beta$ -Gal 染色阳性内皮细胞数目 ,即促进了内皮细胞衰老。因此 ADMA 可能通过促进内皮细胞衰老导致内皮功能失调。

目前 ROS 介导血管内皮细胞衰老已成为较为公认的学说<sup>[8]</sup> ,而 ADMA 可增加内皮细胞内 ROS 水平 ,因此 ADMA 可能通过增加 ROS 水平促进了血管内皮细胞衰老。SOD2 是抵御氧化应激损害的关键酶 ,它能促进超氧阴离子代谢 ,抑制氧化应激 ,减少细胞内 ROS 水平。我们目前的实验发现 ADMA 可显著抑制 HUVEC 中 SOD2 表达 ,推测进一步增加了 ROS 水平。然而 ADMA 如何增加 ROS 水平的具体机制仍未完全阐明。

MiR-21 是一类非编码的单链微小 RNA ,已成为肿瘤研究领域的热点<sup>[9,10]</sup>。近来研究表明 miR-21 与心脏多种病理生理过程有关 ,参与了心肌肥大增殖、氧化应激、缺血预适应等过程的调控<sup>[11,12]</sup>。最近 Menghini R 等研究发现 miR-21 与内皮细胞衰老关系密切 衰老的 HUVEC 中 miR-21 表达明显升高<sup>[3]</sup>。我们目前的实验结果亦显示 ADMA 在促进 HUVEC 衰老的同时升高了 miR-21 水平 ,推测 ADMA 可能通过增加 miR-21 表达而促进血管内皮细胞衰老。我们进一步研究发现 ,应用抑制剂沉默 HUVEC 中 miR-21 表达可显著抑制内皮细胞衰老 ,首次证实 miR-21 介导了 ADMA 诱导的内皮细胞衰老。为进一步探讨 miR-21 介导 ADMA 诱导的内皮细胞衰老的机制 ,我们检测了内皮细胞中 SOD2 的表达 ,结果发现 miR-21 抑制剂转染逆转了 ADMA 诱导的 SOD2 表达减少 ,而 SOD2 表达增加可导致细胞内 ROS 水平下降 ,进一步抑制内皮细胞衰老。因此 ADMA 可能通过增加 miR-21 水平 ,进一步抑制 SOD2 表达而诱导内皮细胞衰老。

(上接第 2450 页)

- [17] Stoop R, Buma P, van der Kraan PM, et al. Differences in type II collagen degradation between peripheral and central cartilage of rat stifle joints after cranial cruciate ligament transection [J]. Arthritis Rheum. 2000, 43(9): 2121-131
- [18] Tsai SH, Sheu MT, Liang YC, et al. TGF-beta inhibits IL-1beta-activated PAR-2 expression through multiple pathways in human primary

综上所述 ,我们目前的实验表明 ADMA 诱导了 HUVEC 中 miR-21 的表达及内皮细胞衰老 ,并首次发现 miR-21 介导了 ADMA 诱导的内皮细胞衰老作用 ,其机制可能与其抑制 SOD2 表达有关。

#### 参考文献(References)

- [1] Liao Q, Li X, Zhou S, et al. Estrogen Treatment Inhibits Vascular Endothelial Senescence and Asymmetrical Dimethylarginine(ADMA) in Ovariectomized Rabbits [J]. J Cardiovasc Pharmacol, 2010, 57(2): 174-182
- [2] Fleissner F, Jazbutyte V, Fiedler J, et al. Asymmetric dimethylarginine impairs angiogenic progenitor cell function in patients with coronary artery disease through a microRNA-21-dependent mechanism [J]. Circ Res, 2010, 107(1): 138-143
- [3] Menghini R, Casagrande V, Cardellini M, et al. MicroRNA 217 modulates endothelial cell senescence via silent information regulator 1 [J]. Circulation, 2009, 120(15): 1524-1532
- [4] Dimri G P, Lee X, Basile G, et al. A biomarker that identifies senescent human cells in culture and in aging skin in vivo [J]. Proc Natl Acad Sci U S A, 1995, 92(20): 9363-9367
- [5] Minamino T, Komuro I. Vascular cell senescence: contribution to atherosclerosis [J]. Circ Res, 2007, 100(1): 15-26
- [6] De Gennaro Colonna V, Bianchi M, Pascale V, et al. Asymmetric dimethylarginine (ADMA): an endogenous inhibitor of nitric oxide synthase and a novel cardiovascular risk molecule [J]. Med Sci Monit, 2009, 15(4): RA91-101
- [7] Bode-Boger S M, Scalera F, Martens-Lobenhoffer J. Asymmetric dimethylarginine (ADMA) accelerates cell senescence [J]. Vasc Med, 2005, 10 Suppl 1S65-S71
- [8] Kurz D J, Decary S, Hong Y, et al. Chronic oxidative stress compromises telomere integrity and accelerates the onset of senescence in human endothelial cells [J]. J Cell Sci, 2004, 117(Pt 11): 2417-2426
- [9] Selcuklu S D, Donoghue M T, Spillane C. miR-21 as a key regulator of oncogenic processes[J]. Biochem Soc Trans , 2009, 37(Pt 4): 918-925
- [10] Walter B A, Gomez-Macias G, Valera V A, et al. miR-21 Expression in Pregnancy-Associated Breast Cancer: A Possible Marker of Poor Prognosis [J]. J Cancer, 2011, 2: 67-75
- [11] Cheng Y, Liu X, Zhang S, et al. MicroRNA-21 protects against the H<sub>2</sub>O<sub>2</sub>-induced injury on cardiac myocytes via its target gene PDCD4 [J]. J Mol Cell Cardiol, 2009, 47(1): 5-14
- [12] Cheng Y, Zhu P, Yang J, et al. Ischaemic preconditioning-regulated miR-21 protects heart against ischaemia/reperfusion injury via anti-apoptosis through its target PDCD4 [J]. Cardiovasc Res, 2010, 87(3): 431-439

synovial cells.J Biomed Sci. 2009,23;16:97

- [19] Blaney Davidson EN, van der Kraan PM, van den Berg WB. TGF-beta and osteoarthritis.Osteoarthritis Cartilage. 2007,15(6):597-604
- [20] Yang X, Chen L, Xu X, et al. TGF-beta/Smad-3 signals repress chondrocyte hypertrophic differentiation and are required for maintaining articular cartilage[J].J Cell Biol,2001,153(1):35-46